

# TP2 EDP

Sacha

June 2023

## 1 Vérification

### 1.1 Le Laplacien

$\Omega$  est le cercle unité et  $\partial(\Omega) = \Gamma_D \cup \Gamma_N \cup \Gamma_F$

$$\Gamma_D = \{x = (\cos(\theta), \sin(\theta)), \theta \in (0, \frac{\pi}{2})\}$$

$$\Gamma_N = \{x = (\cos(\theta), \sin(\theta)), \theta \in (\frac{\pi}{2}, \pi)\}$$

$$\Gamma_F = \{x = (\cos(\theta), \sin(\theta)), \theta \in (\pi, 2\pi)\}$$

$$\begin{cases} -\Delta u = f \\ u = g \text{ sur } \Gamma_D \\ \frac{\partial u}{\partial n} = m \text{ sur } \Gamma_N \\ u + \frac{\partial u}{\partial n} = l \text{ sur } \Gamma_F \end{cases}$$

2. Soit  $v \in H_0^1(\Omega)$  une fonction test. Multiplions  $v$  des deux côtés de la première égalité et intégrons l'équation

$$-\int_{\Omega} \Delta u v = \int_{\Omega} f v$$

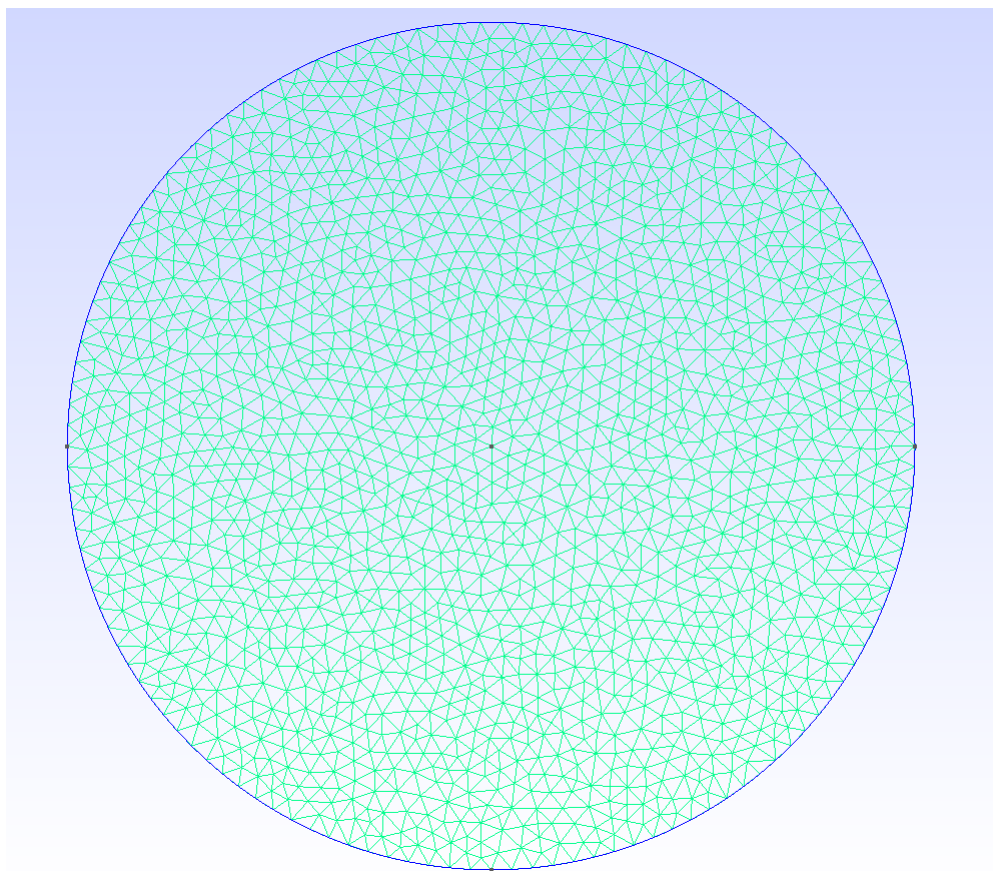
En appliquant la formule de Green, on obtient

$$\int_{\Omega} \nabla u \nabla v - \int_{\partial(\Omega)} \frac{\partial u}{\partial n} v = \int_{\Omega} f v$$

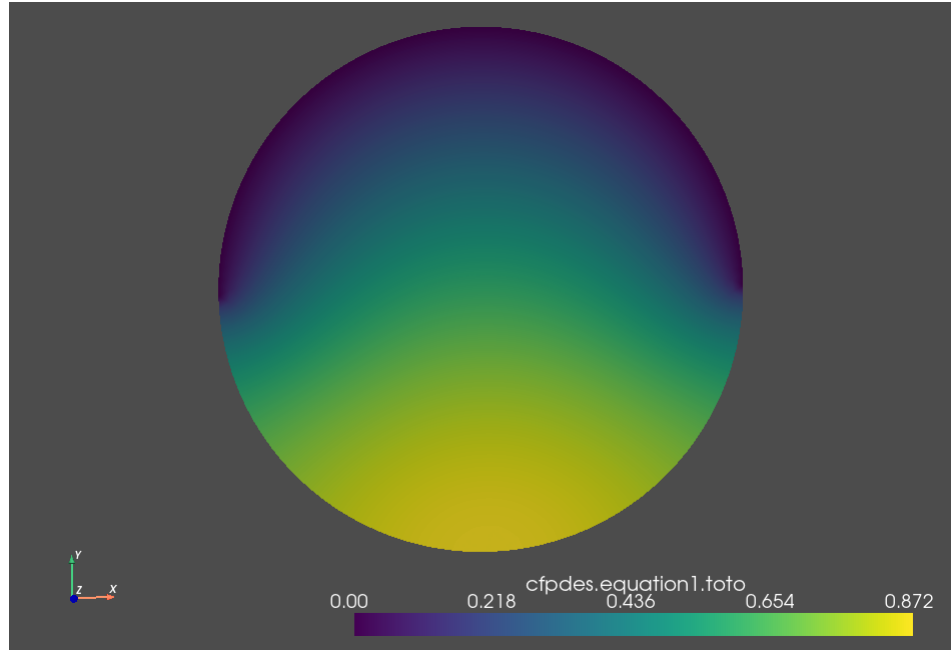
Or  $v = 0$  sur  $\partial(\Omega)$  car  $v \in H_0^1(\Omega)$

$$\text{Donc, } \int_{\Omega} \nabla u \nabla v = \int_{\Omega} f v$$

Après assemblage du maillage sur Gmsh voici le maillage qu'on obtient:



En utilisant `feolpp_toolbox_coefficientformpdes`, on obtient la solution suivante:



La barre en bas à droite correspond à l'échelle des valeurs. Plus la couleur d'un point est bleue, plus sa valeur en  $u$  est proche de 0. Et inversement, plus la couleur est jaune, plus sa valeur est proche du maximum de  $u$  (0.874).

On remarque que le bord du demi disque supérieur est égale à 0, ça correspond en fait aux conditions de Neumann et Dirichlet.

3. Pour que le  $u$  de notre équation soit égal à  $\sin(\pi x)\cos(\pi y)$  on doit avoir:

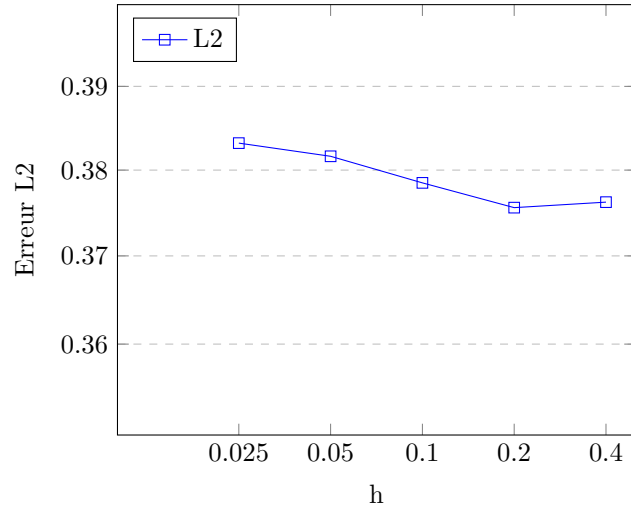
$$f(x, y) = -2\pi^2 \sin(\pi x)\cos(\pi y)$$

$$g = \sin(\pi x)\cos(\pi y)$$

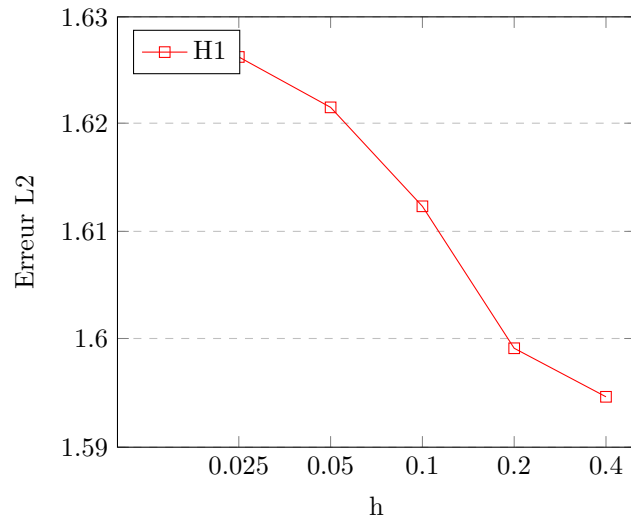
$$m = -\pi y * \cos(\pi x)\cos(\pi y) - \pi x * \sin(\pi x)\sin(\pi y)$$

$$l = g + m$$

Erreur en fonction du pas de maillage



Erreur en fonction du pas de maillage



## 1.2 Fonctions peu régulières

- 2) Calculons  $\frac{\partial u}{\partial r}$  et  $\frac{\partial u}{\partial \theta}$
- $$\frac{\partial u}{\partial r} = \frac{2}{3} r^{-\frac{1}{3}} \sin\left(\frac{2}{3}\theta\right)$$
- $$\frac{\partial u}{\partial \theta} = -\frac{2}{3} r^{\frac{2}{3}} \cos\left(\frac{2}{3}\theta\right)$$
- Or:
- $$\left(\frac{\partial u}{\partial r}\right)^2 \leq \left(\frac{2}{3}\right)^2 \sin^2\left(\frac{2}{3}\theta\right)$$
- $$\left(\frac{\partial u}{\partial \theta}\right)^2 = \left(-\frac{2}{3}\right)^2 \cos^2\left(\frac{2}{3}\theta\right)$$

Car  $r < 1$

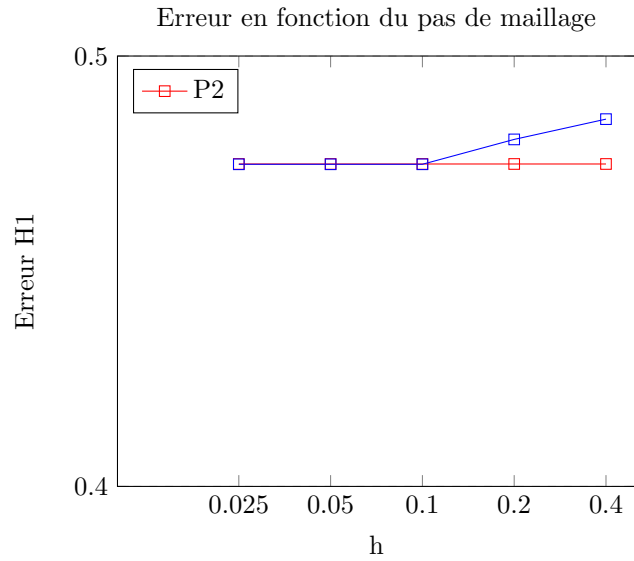
De plus,  $\Omega$  est bornée, donc  $\sin^2$  et  $\cos^2$  sont intégrables à une constante près.

D'où  $u \in H^1(\Omega)$

Maintenant, si on a  $\theta$  tel que  $(\frac{2}{3}\theta) \neq 0$ . Alors on a  $r^{-\frac{1}{3}} \rightarrow 0$  quand  $r \rightarrow 0$

Donc  $\frac{\partial u}{\partial r} \rightarrow 0$  quand  $r \rightarrow 0$ . On en déduit que le gradient n'est pas borné à l'origine, et donc  $u \in H^2$  puisque  $\frac{\partial u}{\partial r}$  n'est pas dérivable en 0.

3)

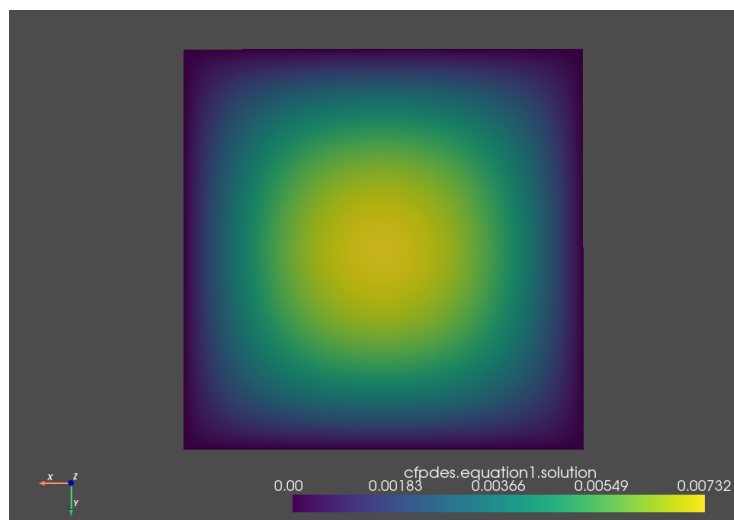


On remarque que l'erreur stagne au bout d'un certain pas de maillage

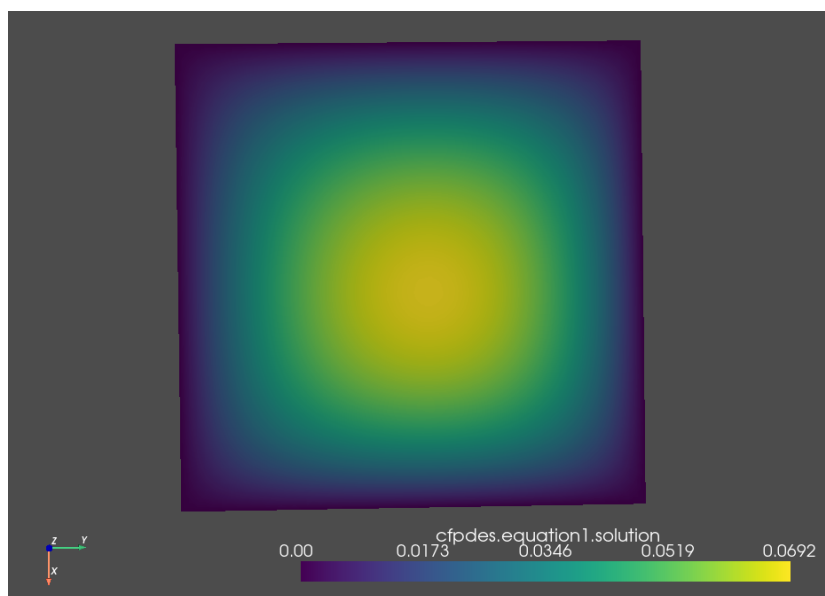
La toolbox utilisée pour cette section est dans le fichier cercle.trois.quart.json

## 2 Méthode de stabilisation

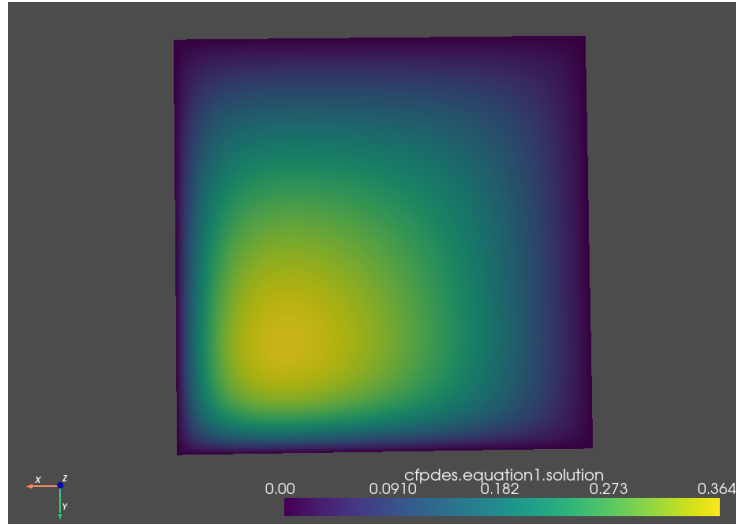
En testant plusieurs valeurs de  $\epsilon$  on obtient les résultats suivants:



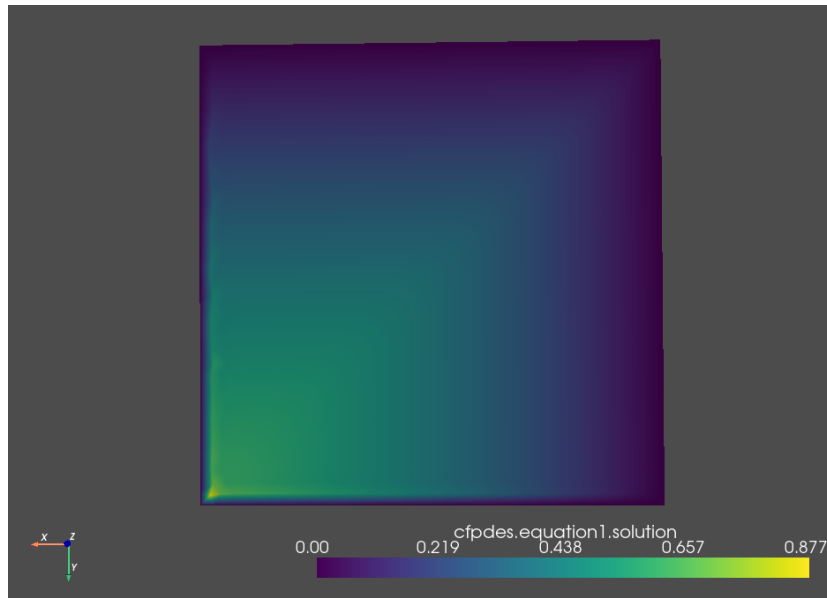
**Figure 1:**  $\epsilon = 10$



**Figure 2:**  $\epsilon = 1$



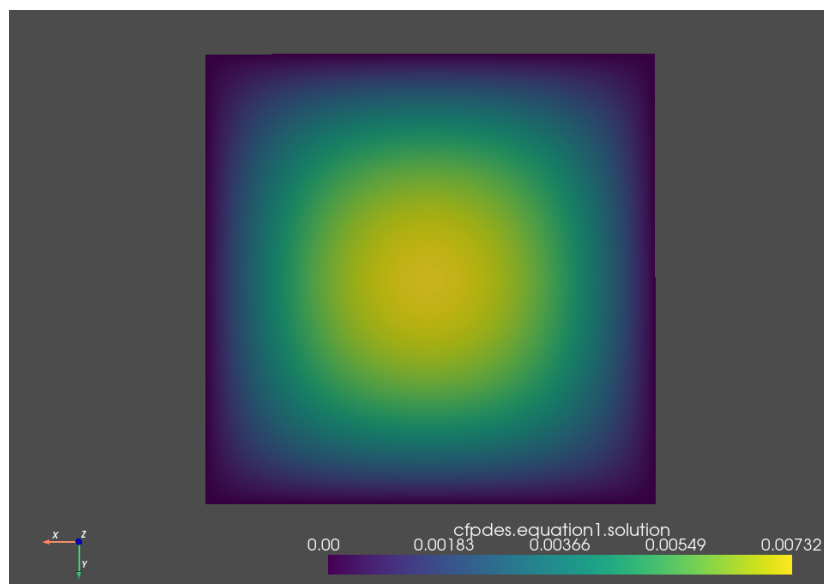
**Figure 3:  $\epsilon = 1e-1$**



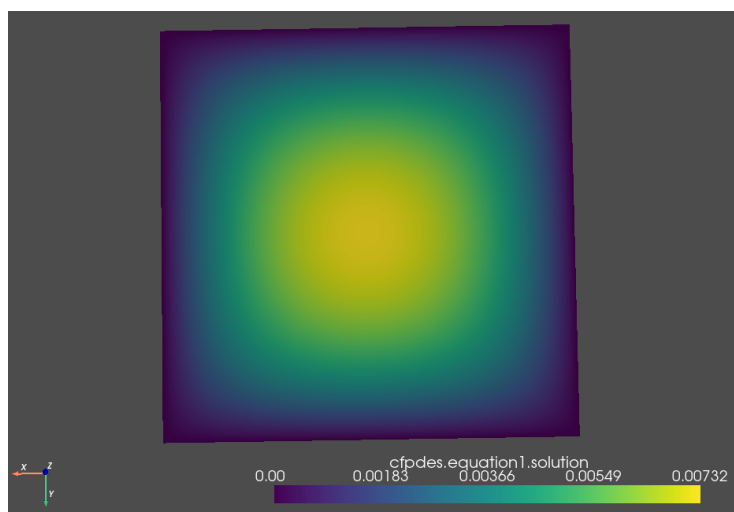
**Figure 4:  $\epsilon = 1e-3$**

On remarque que plus  $\epsilon$  est proche de 0, plus la valeur maximale de la solution (Le point le plus jaune) se rapproche d'un coin du carré.

2) Pour  $\epsilon = 10$  ou  $1e-1$ , on ne remarque pas de changements significatifs entre les différentes méthodes.

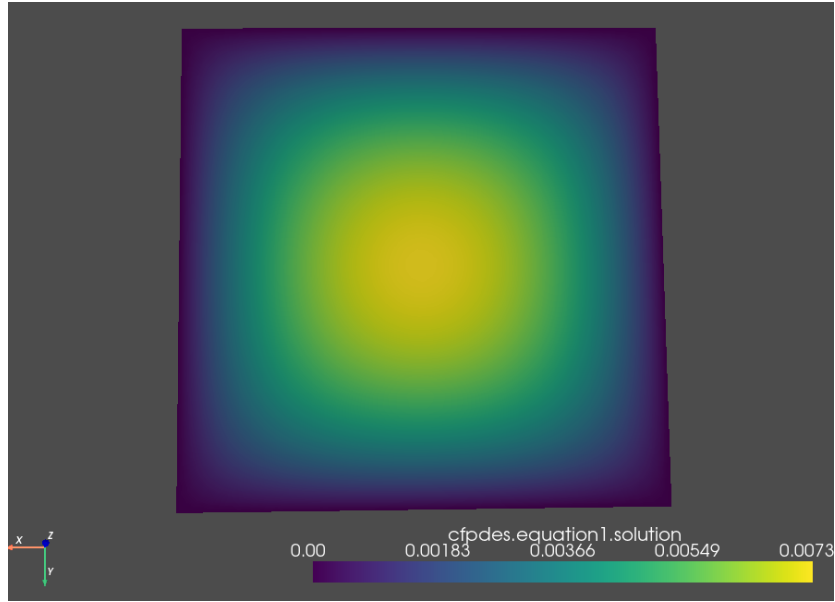


**Figure 5:  $\epsilon = 10$  avec SUPG**



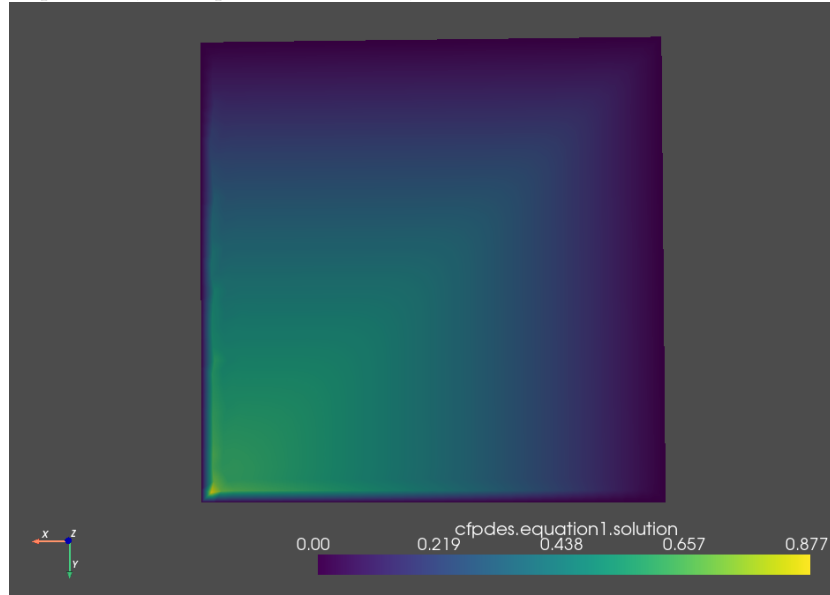
**Figure 6:  $\epsilon = 10$  avec GaLS**



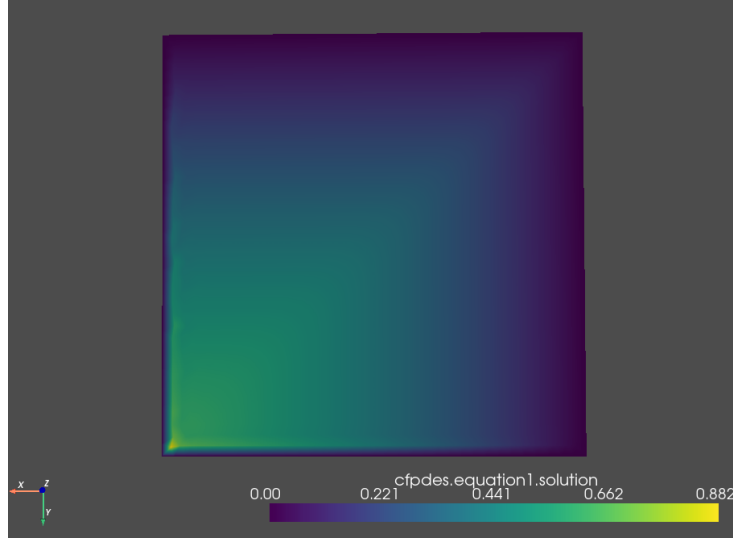


**Figure 7:  $\epsilon = 10$  sans méthode de stabilisation**

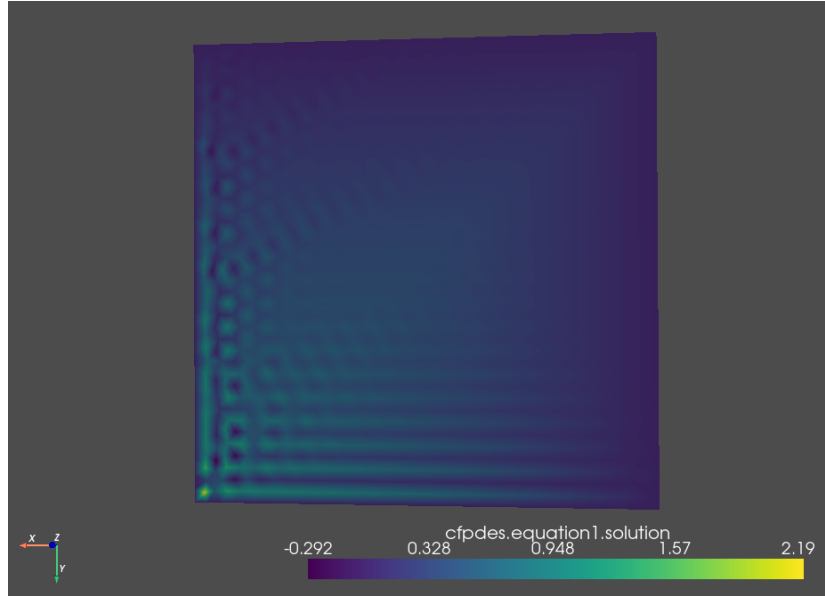
Cependant, si on prend  $\epsilon = 1e - 3$ , on obtient un résultat très différent.



**Figure 8:  $\epsilon = 1e-3$  avec SUPG**



**Figure 9:  $\epsilon = 1e-3$  avec GaLS**



**Figure 10:  $\epsilon = 1e-3$  sans méthode de stabilisation**

3.1) Pour vérifier l'ordre de convergence, nous allons considérer une fonction  $u(x, y) = x^2 + y^2$

Pour que  $u$  soit solution du problème, on doit avoir  $f = -4e - 3 + 2 * x + 2 * y + x^2 + y^2$  et  $g = x^2 + y^2$  si on prend  $\epsilon = 1e - 3$ ,  $\beta = (1, 1)^T$ ,  $\mu = 1$  et  $g = 0$ .

Regardons les erreurs en normes  $L^2$  et  $H^1$ :

h	$L^2$	$H^1$
0.4	1.8799026774634953e-01	2.2682461643710003e-02
0.2	1.1270157838966860e-01	8.2928153375460677e-03
0.1	5.7989554719951569e-02	1.9807126752690446e-03
0.05	2.9143380172362593e-02	4.9159706734286835e-04
0.025	1.4476276503802189e-02	1.2284868096793368e-04

**Table 1: Erreur en norme  $L^2$  et  $H^1$  pour différent pas de maillage avec une base de fonctions  $\mathbb{P}_1$**

h	$L^2$	$H^1$
0.4	7.1088742768433036e-15	9.1605437148933129e-16
0.2	1.3057911970147188e-14	4.7978347293371833e-16
0.1	2.3735140893920529e-14	5.8111735674615155e-16
0.05	3.9026536236342233e-14	1.4540753830744363e-15
0.025	7.4083789924857955e-14	2.7957426964335838e-15

**Table 2: Erreur en norme  $L^2$  et  $H^1$  pour différent pas de maillage avec une base de fonctions  $\mathbb{P}_2$**

En utilisant la section Statistics de la toolbox feel++, nous pouvons également calculer la norme  $H^1$  de notre solution. Feel++ nous donne ce résultat:

$$\|u\|_{H^1} \approx 1.81$$

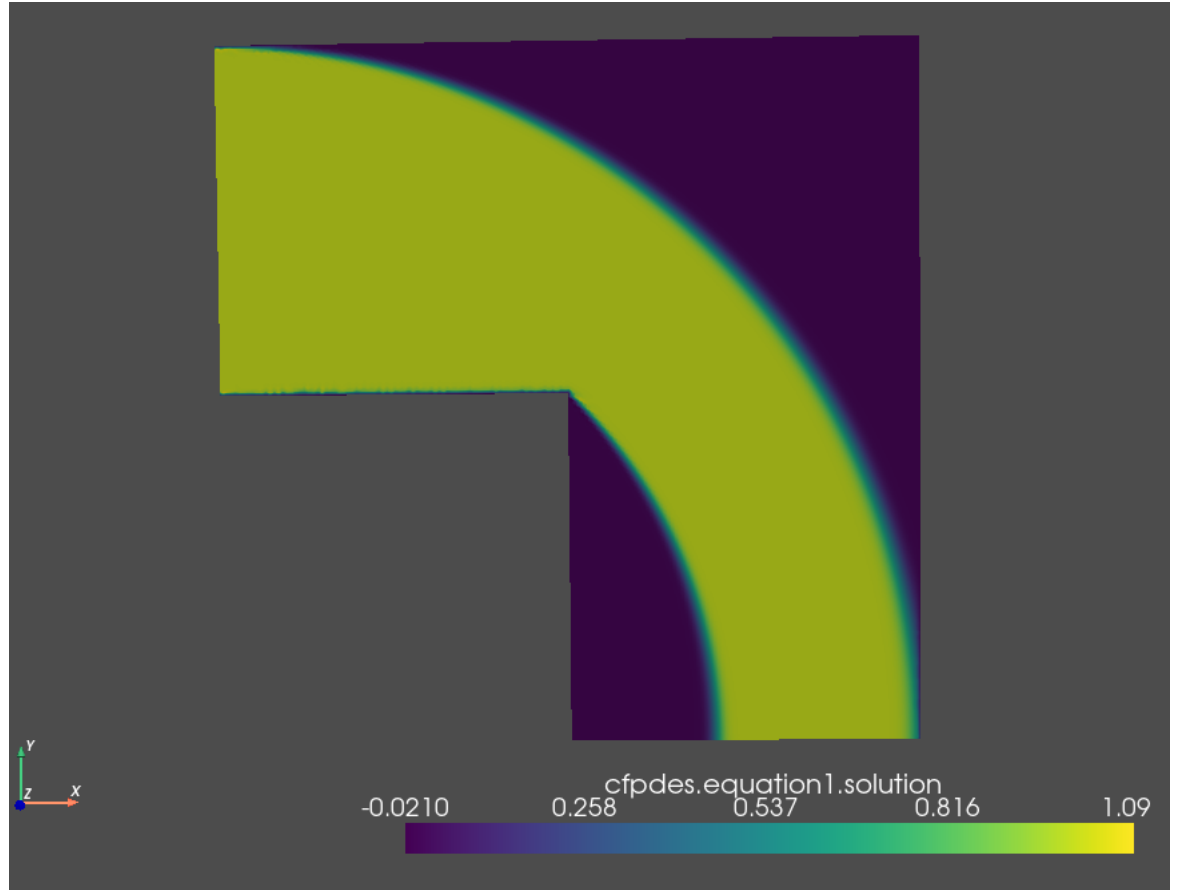
On a donc bien:

$$\|u - u_h\|_{L^2} \leq h^{\frac{1}{2}} \|u\|_{H^1}$$

Avec  $h$ , le pas du maillage. Ce qui confirme la convergence d'ordre  $\frac{1}{2}$ .

La toolbox associée à cette partie est trouvable dans le fichier adr\_manufacturee.cfg et adr\_manufacturee.json du dossier adr.

3.2) Voici la solution du problème après avoir appliqué une méthode de stabilisation GaLS.



**Figure 11: Solution approximé de  $u$  sur un maillage en forme de L**

Sur le bord gauche, nous remarquons que la solution est tout le temps égale à 1, comme la condition de Dirichlet que l'on a imposé.

On remarque aussi que sur les autre bords, la solution est nulle (excepté le bord bas), ça correspond à la condition de Dirichlet homogène. Et le bord bas correspond à la condition de Neumann homogène.

La toolbox utilisée pour générer cette solution est trouvable dans le fichier `adr.L.cfg` et `adr.L.json` dans le dossier `adr`. Le maillage utilisé s'appelle `L.geo`

### 3 Stokes

1) Pour que la solution de Kovsznay soit solution du problème, on doit calculer  $f$  tel que:

$$-\Delta u + \nabla p = f$$

et

$$u = g \text{ sur } \partial\Omega$$

Intéressons-nous à la première équation:

$$\Delta u = \Delta u_1 e_1 + \Delta u_2 e_2$$

avec  $u_i$  la  $i$ -ème coordonnée du vecteur  $u$ , et  $e_i$  le  $i$ -ème vecteur de la base canonique.

$$\begin{aligned} \frac{\partial u_1}{\partial x} &= -\lambda e^{\lambda x} \cos(2\pi y) & \frac{\partial u_1}{\partial y} &= 2\pi e^{\lambda x} \sin(2\pi y) \\ \frac{\partial^2 u_1}{\partial x^2} &= -\lambda^2 e^{\lambda x} \cos(2\pi y) & \frac{\partial^2 u_1}{\partial y^2} &= 4\pi^2 e^{\lambda x} \cos(2\pi y) \end{aligned}$$

$$\text{On a donc } \Delta u_1 = (4\pi^2 - \lambda^2) e^{\lambda x} \cos(2\pi y)$$

$$\begin{aligned} \frac{\partial u_2}{\partial x} &= \frac{\lambda^2}{2\pi} e^{\lambda x} \sin(2\pi y) & \frac{\partial u_2}{\partial y} &= \lambda e^{\lambda x} \cos(2\pi y) \\ \frac{\partial^2 u_2}{\partial x^2} &= -\lambda^3 e^{\lambda x} \sin(2\pi y) & \frac{\partial^2 u_2}{\partial y^2} &= -2\lambda\pi e^{\lambda x} \sin(2\pi y) \end{aligned}$$

Finalement, on a:

$$\Delta u = \begin{pmatrix} (4\pi^2 - \lambda^2) e^{\lambda x} \cos(2\pi y) \\ (\frac{\lambda^3}{2\pi} - 2\lambda\pi) e^{\lambda x} \sin(2\pi y) \end{pmatrix}$$

Calculons  $\nabla p$

$$p = -\frac{e^{2\lambda x}}{2} + C$$

$$\frac{\partial p}{\partial x} = -\lambda e^{2\lambda x}$$

Comme il n'y a pas de  $y$  dans  $p$ , il vient immédiatement que  $\frac{\partial p}{\partial y} = 0$ .

Et donc:

$$\nabla p = \begin{pmatrix} -\lambda e^{2\lambda x} \\ 0 \end{pmatrix}$$

Finalement on a:

$$\begin{aligned} f &= \begin{pmatrix} (4\pi^2 - \lambda^2) e^{\lambda x} \cos(2\pi y) \\ (\frac{\lambda^3}{2\pi} - 2\lambda\pi) e^{\lambda x} \sin(2\pi y) \end{pmatrix} + \begin{pmatrix} -\lambda e^{2\lambda x} \\ 0 \end{pmatrix} \\ &= \begin{pmatrix} (4\pi^2 - \lambda^2) e^{\lambda x} \cos(2\pi y) - \lambda e^{2\lambda x} \\ (\frac{\lambda^3}{2\pi} - 2\lambda\pi) e^{\lambda x} \sin(2\pi y) \end{pmatrix} \end{aligned}$$

Maintenant, déterminons  $C$  tel que  $p$  soit de moyenne nulle, c'est à dire:

$$\int_{\Omega} p = 0$$

Comme  $\Omega$  est un rectangle, on a l'égalité suivante:

$$\begin{aligned}
\int_{\Omega} p &= \int_{-0.5}^1 \int_{-0.5}^{1.5} \frac{-e^{2\lambda x}}{2} + C dy dx \\
&= \int_{-0.5}^1 \left( \frac{-e^{2\lambda x}}{2} + C \right) \int_{-0.5}^{1.5} dy dx \\
&= \int_{-0.5}^1 \left( \frac{-e^{2\lambda x}}{2} + C \right) [y]_{-0.5}^{1.5} dx \\
&= 2 \int_{-0.5}^1 \left( \frac{-e^{2\lambda x}}{2} + C \right) dx \\
&= 2 \left[ \frac{-e^{2\lambda x}}{4\lambda} + Cx \right]_{-0.5}^1 \\
&= 2 \left( \frac{-e^{2\lambda}}{4\lambda} + C + \frac{e^{-\lambda}}{4\lambda} + \frac{C}{2} \right) \\
&= \frac{-e^{2\lambda} + e^{-\lambda}}{2\lambda} + 3C
\end{aligned}$$

Or on a:

$$\begin{aligned}
\frac{-e^{2\lambda} + e^{-\lambda}}{2\lambda} + 3C &= 0 \\
3C &= \frac{e^{2\lambda} - e^{-\lambda}}{2\lambda} \\
C &= \frac{e^{2\lambda} - e^{-\lambda}}{6\lambda}
\end{aligned}$$

2) Voici la formulation variationnelle pour le problème de Stokes:

On cherche  $(u, p)$  dans  $H_0^1 \times L_*^2$  avec  $L_*^2$  l'ensemble des fonctions de carré intégrable telle que  $\int_{\Omega} p = 0$ .

$$\begin{aligned}
\int_{\Omega} \nabla u : \nabla v - \int_{\Omega} p \nabla \cdot v &= \int_{\Omega} f \cdot v \\
\int_{\Omega} q \nabla \cdot u &= 0
\end{aligned}$$

$\forall v \in H_0^1(\Omega)$  et  $\forall q \in L_*^2$

3) En choisissant, une base  $\mathbb{P}_1/\mathbb{P}_1$  voici les solutions obtenues:

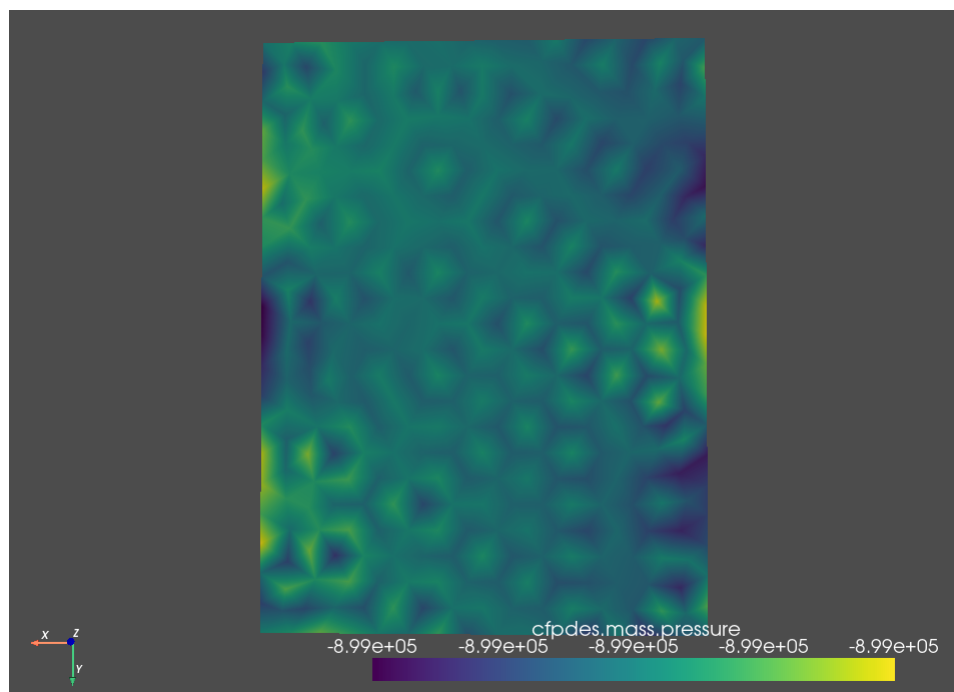
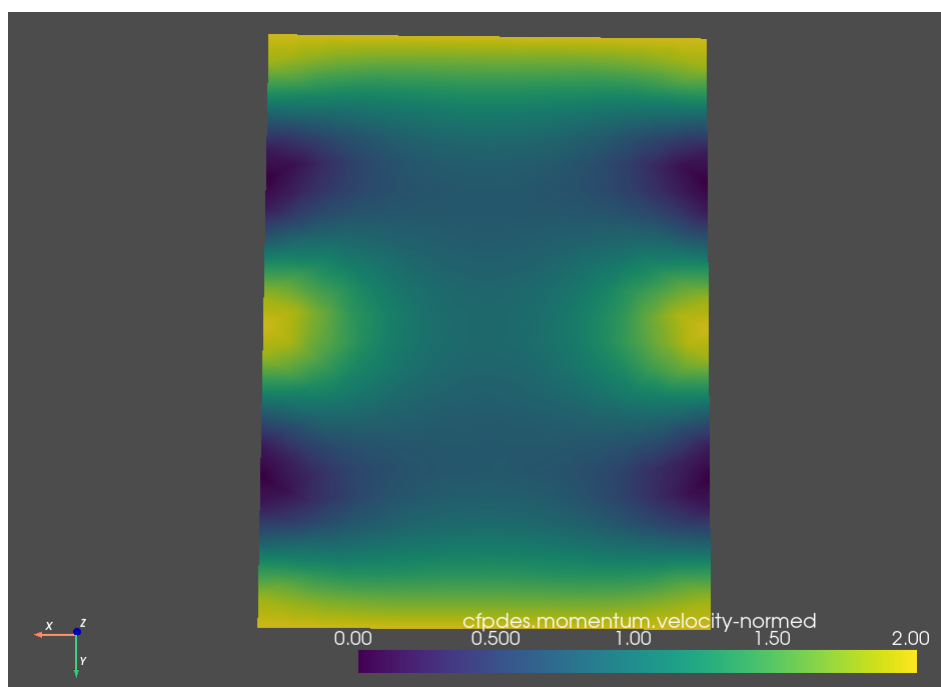


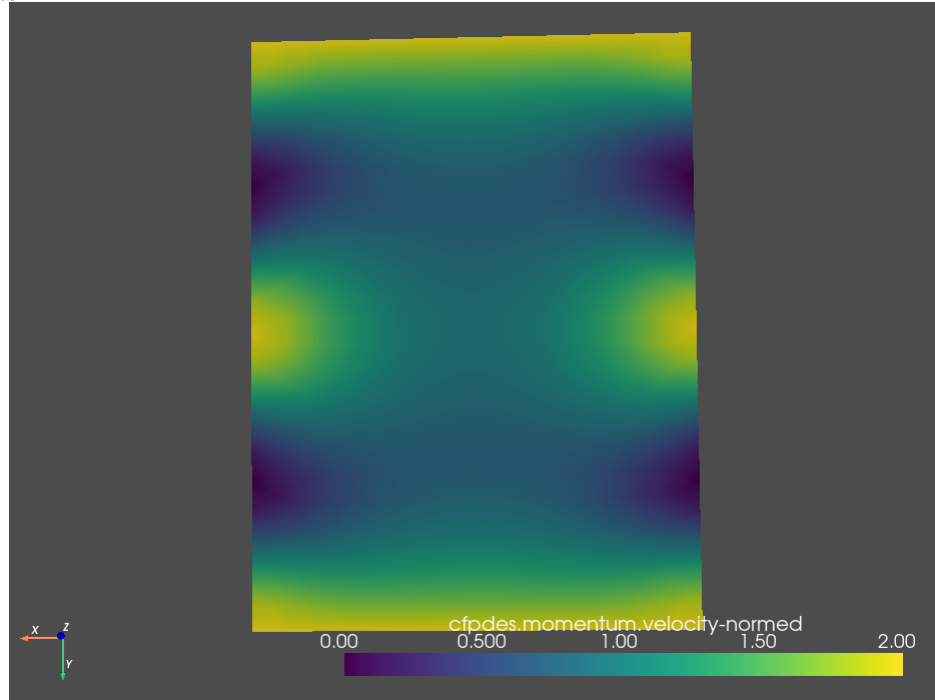
Figure 12: Solution approchée de  $p$  avec une erreur  $L^2$  de:  
 $1.5577586580821336e+06$



**Figure 13: Solution approchée de  $u$  avec une erreur  $L^2$  de:  
7.4786283012603649e-01**

On remarque que la méthode a du mal à converger vers la solution exacte de  $p$

4) Maintenant en utilisant la méthode  $\mathbb{P}_2/\mathbb{P}_1$ , on obtient les résultats suivants:



**Figure 14: Solution approchée de  $u$  avec une base  $\mathbb{P}_2/\mathbb{P}_1$**



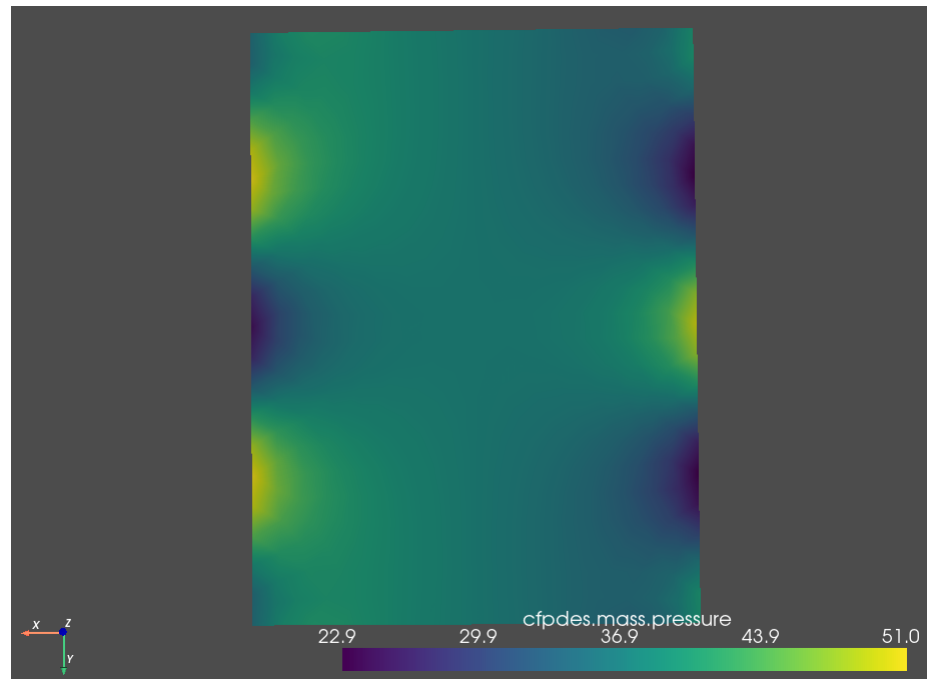


Figure 15: Solution approchée de  $p$  avec une base  $\mathbb{P}_2/\mathbb{P}_1$